

九州大学工学部・正員 枝井 和朗

正員 神野 傳二

正員 上田 年比古

1 まえがき

河川や沿岸海域における汚染物質などの移流分散現象の解明は、水域の保全対策上重要な問題として、数多く研究されていいる。この場合、移流分散係数の予知が重要であるが、この理論値は、粘性底層の効果を含めて Chazwin¹⁾等により与えられていいる。さてこのようす移流分散の数値計算に適用される差分法には、従来より種々提案されていいるが、移流項が卓越する剪断乱流中の拡散に対しても、移流項が発生する離散化誤差が問題となる。本報では、粘性底層の効果を含め、2次元移流分散方程式を粒多移動法²⁾により数値計算し、モーメント法を用い移流分散係数を求め、粒多移動法について検討を行なった。

2 数値計算の方法 粒多移動法は、2次元移流分散

方程式(1)を、速度の特性曲線上での濃度変化を示す(2)式に変形して、移流項を消去し、この式について数値計算を行なうものである。移流項が発生する離散化誤差を防ぐことができる。数値計算では、予め全領域にわたって配置されたある塩分濃度を各流体粒子との位置の流速 $U(y)$ で移動させる。次にこれらの粒子濃度より与えられる格子点濃度による(2)式の右辺の拡散項の計算を行ない、これによる濃度変化を各粒子に与えてやく計算である。すなわち図1のようすに、 $\Delta x, \Delta y$ を固定格子差分間隔、 (x_i, y_i) を、 (i, j) 点の x, y 座標とする。今、 S_{ij} 領域に含まれる粒子 K の濃度 $C(K)$ (n ; time step) の算術平均値を求め、これを各格子点の仮濃度 $\bar{C}_{i,j}$ とする。(3)式は、(2)式の差分式である。

次に、(3)式から得られる格子点の濃度増分 $SC_{i,j}^{n+1}$ を、均一にその区分領域 S_{ij} 内に含まれる全粒子の濃度増分 $SC(K)$ とする。領域境界ではさむ粒子の濃度間に不連続が生じ、数値解の誤差の原因となるので、これができるだけなくするために、隣りあう格子間の濃度増分の変化を、 $SC(x_{i+1}, y_{j+1})$ の2階のTaylor展開により曲面近似させ、個々の粒子の濃度増分 $SC(K)$ を算定した。

次に、粘性底層の存在が、移流分散に及ぼす効果を見積るために、(4)式の粘性底層厚 S_0 に粒子を配置して計算した。まず底層内の拡散係数を考える。流れの場のマクロな乱流拡散係数の分布は、(6)式の流速の対数分布(log-law)および Reynolds analogy により、(7)式の放物型分布³⁾で与えられる。これによると壁面において、零となるが、壁面付近では、壁面に垂直な方向の変動速度は、壁面に規制されなくななるが、壁面に平行な方向の変動速度は存在し⁴⁾。その乱流拡散係数 K_s は、Chazwin は、(8)式²⁾で与えられる。したがって粘性底層内の粒子移動法の計算として、粘性底層内に配置された粒子を、(9)式(linear law)の流速で移動させ、壁面での仮の拡散係数として、(8)式を用い、さらに壁面境界条件 $\partial C_{y=0} / \partial y = 0$ を考慮し、粒子の濃度変化を算定して、移流分散に及ぼす粘性底層の効果を求めた。

ここでは、2次元移流分散の計算条件は、水深 $H = 20\text{ cm}$ 、平均流速 $\bar{U} = 5.0\text{ cm/sec}$ 、摩擦速度 $U_* = 0.333\text{ cm/sec}$ 、格子差分間隔 $\Delta x = \Delta y = 2.0\text{ cm}$ 、差分時間間隔 $\Delta t = 0.173\text{ sec}$ 、初期濃度分布として、パルス型分布を与えた。

3 結果

図2(a)は、粘性底層効果を無視し、乱流拡散係数 K_s を無視した場合の、濃度の2次元的な経時

$$\frac{\partial C}{\partial x} + U \frac{\partial C}{\partial y} = K_s \frac{\partial^2 C}{\partial x^2} + D(K_s \frac{\partial^2 C}{\partial y^2})/dy \quad \dots (1)$$

$$\frac{\partial C}{\partial x} = K_s \frac{\partial^2 C}{\partial x^2} + D(K_s \frac{\partial^2 C}{\partial y^2})/dy \quad \dots (2)$$

$$SC_{i,j}^{n+1} = \Delta t [K_s (\bar{C}_{i+1,j} - 2\bar{C}_{i,j} + \bar{C}_{i-1,j})/\Delta x^2 + K_s (\bar{C}_{i,j+1} - 2\bar{C}_{i,j-1})/\Delta y^2 + (K_s \delta_{ij} - K_s \delta_{ij-1})(\bar{C}_{i,j+1} - \bar{C}_{i,j-1})/4\Delta x^2] \quad \dots (3)$$

$$\delta_{ij} = 5U/U_* \quad \dots (4)$$

$$U(y)/U_* = U*/y \quad \dots (5)$$

$$U(y)/U_* = 1/y + \frac{1}{2} \ln \frac{y}{y_*} \quad \dots (6)$$

$$K_s = A(\beta - 1) y / R^2 \quad \dots (7) \quad K_s = 0.0006 V (1 + 0.444 y_*^2) \quad \dots (8)$$

$$\delta_x^2(z) = \left\{ \sum \bar{C}(x, z) \times (x - \bar{x})^2 \Delta x / \sum \bar{C}(x, z) \Delta x \right\} \quad \dots (9)$$

$$D(z) = \frac{1}{2} [d \delta_x^2(z) / dz] \quad \dots (10)$$

$$S = \left\{ \sum \bar{C}(x, z) \times (x - \bar{x})^2 \Delta x / \left(\sum \bar{C}(x, z) \Delta x \right) \right\} \quad \dots (11)$$

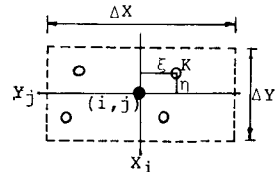


図-1 $S_{i,j}$ 領域内の粒子(白丸)

変化を示し
たものである。図2(c)
は、粘性底層の効果を
考慮し、また流出方向

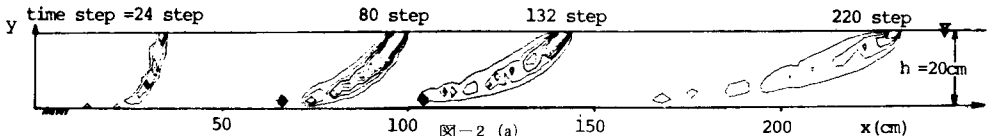


図-2
濃度分布の経時変化

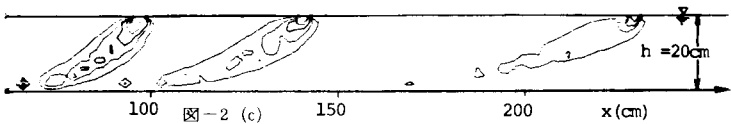


図-2 (c)

の変動速度と鉛直方向の変動速度と共に、流出の局所的な等方性により、等しいと仮定し、 $K_x = K_y$ として K_x を与えた場合のものである。差分間隔の制約のため、両者とも十分滑らかな等濃度線にならないが、時間の経過にともない、移流の効果が発生している様子が理解できる。また、開水路流れの移流分散における濃度分布は、充分大きい時間では、1次元的取り扱いができる、濃度分布は、Gauss 分布になるといわれている。これを、(11)式の Skewness factor により評価したのが、図3である。図より、Skewness factor は、時間とともに漸近しており、Sullivan⁵⁾ のいう 3rd Stage に分散過程が移行していること、粒移動法の数値計算がえらむこと。

次に、モーメント法により、移流分散係数を算定した。断面平均濃度 $\bar{C}(x,t)$ の分散 $\sigma_x^2(t)$ を(9)式により求めた。 $\sigma_x^2(t)$ の時間的变化を、図4に示す。移流分散係数は、(10)式により算定される。図中の勾配(a)は、図2(a)に対応し、 $D(a) = 48 \text{ cm}^2/\text{sec}$ となる。この値は、Chadwin⁶⁾ が、粘性底層効果を考慮したもので、モーメント法により、 $D(b) = 54 \text{ cm}^2/\text{sec}$ となる。粘性底層の存在を考慮した場合の移流分散係数(d)が、D(a)の値より、12%程度大きくなる。Chadwin によれば、粘性底層の存在を無視する比、移流分散係数の推定に 10~20% 程度の誤差が含まれることを理論的に示している。したがって、今回用いた粒移動法により、粘性底層の存在による移流分散係数への付加的な寄与が、評価できると考えられる。X 方向の乱流拡散係数 K_x を考慮すると、勾配(c)となり、 $D(c) = 62 \text{ cm}^2/\text{sec}$ がえらむ。さらに大きな値となる。このことは、図2(c)より、濃度の X 方向への分散が大きく、これが $\sigma_x^2(t)$ に寄与していくためと考えられる。

4 むすび 粒移動法を用いて、2 次元横断乱流における移流分散方程式の数値計算を行ない、その適用上の問題点を考察したが、流体粒子を 粘性底層内に配置することによって、マクロな移流分散係数への付加的な粘性底層効果の寄与を見積まることができ、そのオーダーは、Chadwin のいう 10~20% とはほぼ一致した。

参考文献

- 1) P.C.Chadwin, Interpretation of longitudinal dispersion experiments, J.Fluid.Mech., (1971) pp.689~702
- 2) 神野、上田, 粒子の移動による移流分散方程式の数値解法の検討, 土木学会論文集第 271 号(1978) PP.45~53
- 3) N.Yotsukura & M.B.Fiering, Numerical Solution to a Dispersion Equation, ASCE, HY-5(1964) PP.83~104
- 4) 粘性流体の力学, 生井武文著, 工業出版社, P70
- 5) P.J. Sullivan, longitudinal dispersion within a two-dimensional turbulent shear flow, J.Fluid.Mech., (1970) PP.551~576

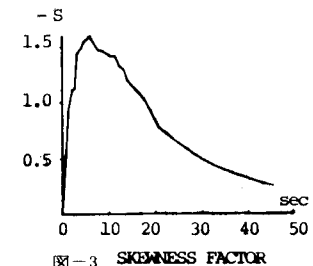


図-3 SKENNESS FACTOR

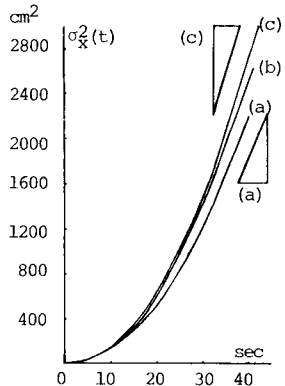


図-4 $\sigma_x^2(t)$ の時間変化